

Fig. 5

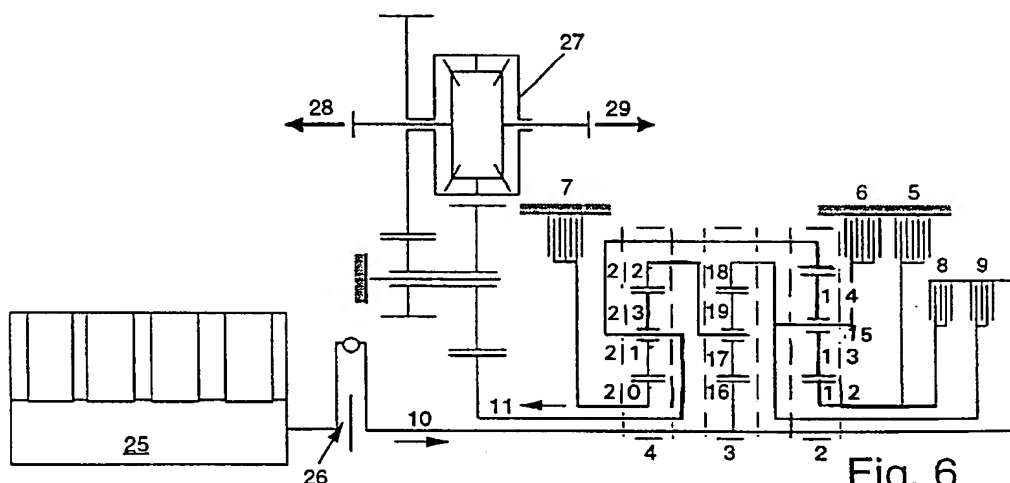


Fig. 6

	1. Gear	2. Gear	3. Gear	4. Gear	5. Gear	6. Gear	R Gear	φ_{ges}
i	5,70	3,33	1,98	1,41	1,0	0,78	-3,47	7,34
φ	1,71	1,68	1,41	1,41	1,29			
$i_{01} = -3,47$	$i_{02} = -3,05$	$i_{01} = -2,46$						

Fig. 7

	1. Gear	2. Gear	3. Gear	4. Gear	5. Gear	6. Gear	R-Gear	φ_{ges}
i	5,49	3,26	2,08	1,44	1,0	0,80	-3,91	6,89
φ	1,68	1,57	1,44	1,44	1,25			
$i_{01} = -3,91$	$i_{02} = -2,80$	$i_{01} = -2,25$						

Fig. 8

U.S. Patent

Jun. 3, 2003

Sheet 2 of 3

US 6,572,507 B1

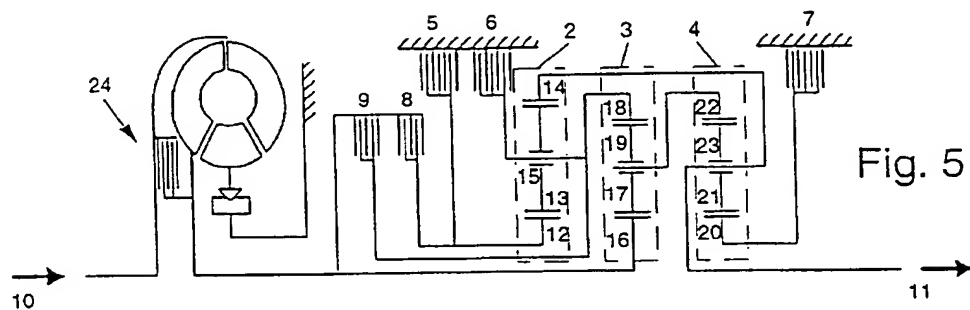


Fig. 5

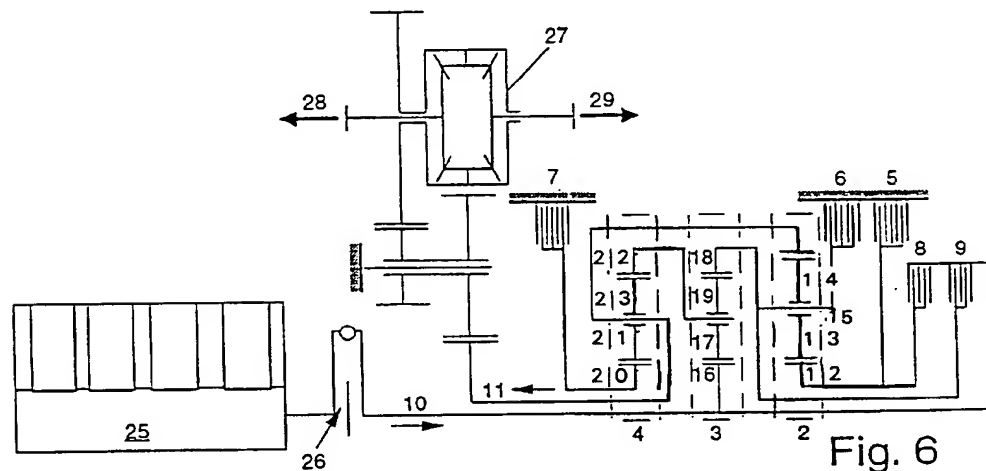


Fig. 6

	1. Gear	2. Gear	3. Gear	4. Gear	5. Gear	6. Gear	R Gear	φ_{ges}
i	5,70	3,33	1,98	1,41	1,0	0,78	-3,47	7,34
φ	1,71	1,68	1,41	1,41	1,29			
$i_{01} = -3,47$	$i_{02} = -3,05$	$i_{01} = -2,46$						

Fig. 7

	1. Gear	2. Gear	3. Gear	4. Gear	5. Gear	6. Gear	R Gear	φ_{ges}
i	5,49	3,26	2,08	1,44	1,0	0,80	-3,91	6,89
φ	1,68	1,57	1,44	1,44	1,25			
$i_{01} = -3,91$	$i_{02} = -2,80$	$i_{01} = -2,25$						

Fig. 8